

# Новости о пентакварках с тяжелыми кварками

М. Эйдес + М.Поляков+V.P.

*Семинар ОФВЭ-ОТФ*

30 мая 2019 г



# Эксперименты LHCb

- In 2015 LHCb discovered 2 **exotic pentaquarks**:

$$M_1 = 4380 \pm 37 \text{ MeV}, \quad \Gamma = 205 \pm 104 \text{ MeV}$$

$$M_1 = 4450 \pm 5 \text{ MeV}, \quad \Gamma = 39 \pm 24 \text{ MeV}$$

- Spin-parity  $(\frac{3}{2}^-, \frac{5}{2}^+)$  but it could be  $(\frac{5}{2}^+, \frac{3}{2}^-)$ .
- Новые измерения говорят, что

State	$M$ [MeV]	$\Gamma$ [MeV]	(95% CL)
$P_c(4312)^+$	$4311.9 \pm 0.7^{+6.8}_{-0.6}$	$9.8 \pm 2.7^{+3.7}_{-4.5}$	$(< 27)$
$P_c(4440)^+$	$4440.3 \pm 1.3^{+4.1}_{-4.7}$	$20.6 \pm 4.9^{+8.7}_{-10.1}$	$(< 49)$
$P_c(4457)^+$	$4457.3 \pm 0.6^{+4.1}_{-1.7}$	$6.4 \pm 2.0^{+5.7}_{-1.9}$	$(< 20)$

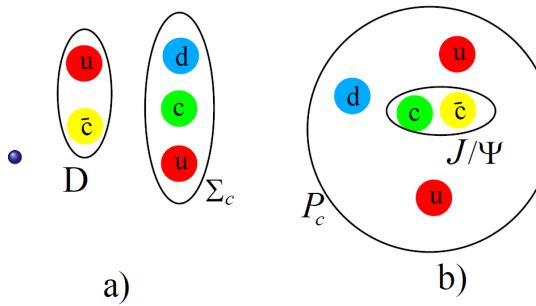
а) Спин - четности  
могут быть любые  
б) Статус  $P_c(4380)$   
неопределенный

Довольно принципиальные изменения!

Как их можно принять в модели **молекулы** или  
**hadrocharmonium**?

# What is the nature of LHCb pentaquark

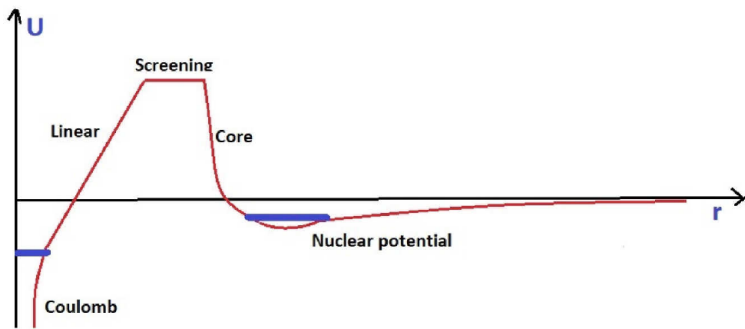
- Quark contents  $udu\bar{c}c$



- a) molecule  $\Sigma_c + \bar{D}$  – distance between  $c\bar{c}$  is **large**
- b) hadrocharmonium,  $\Psi_{2s} + \text{Proton}$  – distance between  $c\bar{c}$  is **small**.



# Born-Oppenheimer approximation



- In **Born-Oppenheimer** approximation mass of  $c, \bar{c}$  is infinite. Light quark are moving in the **static field** of heavy quarks.
  - molecule  $\Sigma_c + \bar{D}$  — distance between  $c\bar{c}$  is **large**
  - hadrocharmonium,  $\Psi_{2s} + \text{Proton}$  — distance between  $c\bar{c}$  is **small**.



# Молекула

- В работе LHCb новые данные названы **триумфом молекулярной модели**.
- Основанием для такого суждения служит близость состояний к двум порогам:

$$M_{\Sigma_c} + M_D = 2455 + 1865 = 4320 \quad (1)$$

$$M_{\Sigma_c} + M_{D^*} = 2455 + 2010 = 4465$$



# Молекула

- В работе LHCb новые данные названы **триумфом молекулярной модели**.
- Основанием для такого суждения служит близость состояний к двум порогам:

$$M_{\Sigma_c} + M_D = 2455 + 1865 = 4320 \quad (1)$$

$$M_{\Sigma_c} + M_{D^*} = 2455 + 2010 = 4465$$

- Как возникают **ДВА** близких состояния в системе  $\Sigma_c + D^*$ ?  
Нет понятия сверхтонкого расщепления, поскольку  
 $\pi$ -мезонное взаимодействие **зависит от спина**.

$$V_\pi = \vec{s}_1 \cdot \vec{s}_2 V = \left\{ \begin{array}{ll} V, & S = 3/2 \\ -2V & S = 1/2 \end{array} \right\}$$

Пробовали — не получается....



# Молекула

- А в системе  $\Sigma_c + D$  (для  $P_c(4312)$ ) вообще **нет однопионного обмена**.
- Таким образом идея **пентакварка как дейтона** не проходит!
- Возможно все же, что они представляют собой связанные состояния **ядерного типа** (потенциал за счет обмена  $\sigma, \rho, \omega$ -мезона). Но тогда энергии связи порядка 50 MeV, **Размер 1fm**. Нету картины **слабосвязанной молекулы большого размера**
- А тогда при чем **близость** к порогу? И как объяснить **дублет** состояний?

# Hadrocharmonium

- Потенциал взаимодействия между нуклоном и маленьким  $\psi'$  получается из **мультипольного разложения** для  $\psi'$

$$V(x) = -\alpha \frac{4\pi^2}{b} \left( \frac{g^2}{g_s^2} \right) \left[ \rho_E(x) \left( 1 + \xi \frac{bg_s^2}{8\pi^2} \right) - 3p(x) \right]$$

$\rho_E(x)$  — плотность энергии в нуклоне,  $p(x)$  — давление,  $\alpha$  — **поляризуемость** чармония.

- Потенциал **не зависит от спинов** чармония и нуклона. Поэтому для связи  $\Psi(2S) + N$  есть **два вырожденных** состояния со спинами  $S = \frac{1}{2}^-, \frac{3}{2}^-$
- Потенциал  $V(x)$  выведен для предела  $m_c \rightarrow \infty$ . С учетом поправок по  $1/m_c$  вырождение снимается — **сверхтонкое расщепление**.



# Сверхтонкое расщепление в Hadrocharmonium

- Взаимодействие сверхтонкого расщепления определяется поляризуемостью и средним хромоэлектрическим  $E$  и хромомагнитным полем  $B$  по нуклону:

$$H_{\text{eff}} = -\frac{\alpha}{2m_Q} S_j \langle N(p') | E_i^a (D_i B_j)^a | N(p) \rangle,$$

- выражается через  $\tilde{G}\tilde{G}$  по нуклону, а это среднее выражается через **синглетную аксиальную константу нуклона**.  
Окончательная формула:

$$H_{\text{eff}} = \frac{\alpha}{m_Q} \frac{4\pi^2}{3N_f} g_A^{(0)} (-q^2) (S \cdot q) (s_N \cdot q),$$

- $S$  — спин чармоная,  $s_N$  — спин нуклона



# Сверхтонкое расщепление в Hadrocharmonium

- $\alpha$  фиксирована из положения центра пента-дублета ( $\alpha = 17.2 \text{GeV}^{-3}$ ).
- Синглетная  $g_a$  известна хорошо  $g_a^{(0)} \approx 0.3$  из данных по поляризованному deep inelastic.
- К сожалению, плохо известен ее формфактор. Принимая

$$g_A^{(0)}(-q^2) = \frac{g_A^{(0)}}{(1 + q^2/M_A^2)^2}, M_A = 800 \text{MeV}$$

(соответствует нашей модели нуклона) получаем

$$\Delta M_{HF} \approx 21.1 \text{ MeV} \text{ vs } 17 \text{ MeV (LHCb)}$$



# Третий пентакварк

- Откуда взять **Зй пентакварк?** Нужен **другой** чармоний, который имеет *примерно такой же размер*
- В кулоновской картине имеют одинаковую энергию возбужденные состояния  $2S$  и  $1P$  ( $I = 1$ ). Это чармоний называется  $\chi_c$ , его квантовые числа  $0^+$ .
- Рассмотрим связанное состояние  $\chi_{c0}$  и нуклона. Потенциал такой же, только входит **поляризуемость**  $\chi_{c0}$ . Она **неизвестна** и считать ее мы не умеем.
- Умели бы если бы задача была **кулоновской**. Вычисляя, в кулоновской задаче

$$x = \frac{\alpha(1P)}{\alpha(2S)} = \frac{159}{251} \approx 0.63$$

- Если принять такое отношение

$$M_{P_c} \approx 4298 \text{ MeV}$$



# Третий пентакварк

- LHCb число (4312) получается для  $x \approx 0.58$
- Внимание: При hadrocharmonium интерпретации  $P_c(4312)$  имеет **четность плюс** — именно  $\frac{1}{2}^+$
- при молекулярной интерпретации **четность минус** —  $\frac{1}{2}^-$ .

# Распады в дублете пентакварков

- У компонент **пента-дублета** должна быть **одинаковая ширина** (?), а по данным LHCb она отличается **в 3 раза!**
- Действительно, ширины распадов *распадов в закрытый чарм*  $P_c \rightarrow J/\psi + p$  **одинаковы**.
- Мы сосчитали ширины из  $3/2$  раньше, а из  $1/2$  - теперь

TABLE II. Decay widths of the spin doublet hadrocharmonium pentaquarks  $P_c(4440)$  and  $P_c(4457)$

Decay mode	$\Gamma\left(\frac{1}{2}^-\right)^a$	$\Gamma\left(\frac{3}{2}^-\right)^b$
$P_c \rightarrow J/\psi N$	11	11
$P_c \rightarrow \Lambda_c \bar{D}$	18.7	0.6
$P_c \rightarrow \Sigma_c \bar{D}$	1.4	0.04
$P_c \rightarrow \Lambda_c \bar{D}^*$	13.7	4.2
$P_c \rightarrow \Sigma_c^* \bar{D}$	0.004	0.4
Total width	44.8	16.2

- Ширины из  $1/2$  **больше**, поскольку становится доступной волна с  $L = 0$ .

# Распады пентакварков

- Действительно, распады из состояния  $\frac{1}{2}^-$  в три раза **больше**, чем из состояния  $\frac{3}{2}^-$ . за счет распадов в открытый чарм.
- Но сами ширины **значительно больше**, чем говорит LHCb (в два раза и более).
- Третьему пентакварку распадаться **некуда**. Распад в **закрытый чарм**  $J/\psi + N$  возможен не через 2, а через **3 глюона**. Для вычисления нужно знать

$$\langle N | \frac{\mathbf{G}_{\mu\nu}^3}{32\pi^2} | N \rangle$$

Неизвестен экспериментально и теоретически. Открытый чарм подавлен по четности (высшие  $L$ ).

- Однако, **собственной ширины**  $\chi_{c0}$  (10 Mev) **достаточно**

# Что еще?

- Есть еще много возбужденных состояний чармония. Они могут объяснять преширокий резонанс в области 4380....

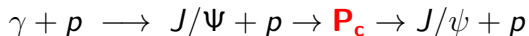
TABLE II. Decay widths of the spin doublet hadrocharmonium pentaquarks  $P_c(4440)$  and  $P_c(4457)$

Decay mode	$\Gamma \left(\frac{1}{2}^-\right)^a$	$\Gamma \left(\frac{3}{2}^-\right)^b$
$P_c \rightarrow J/\psi N$	11	11
$P_c \rightarrow \Lambda_c \bar{D}$	18.7	0.6
$P_c \rightarrow \Sigma_c \bar{D}$	1.4	0.04
$P_c \rightarrow \Lambda_c \bar{D}^*$	13.7	4.2
$P_c \rightarrow \Sigma_c^* \bar{D}$	0.004	0.4
Total width	44.8	16.2

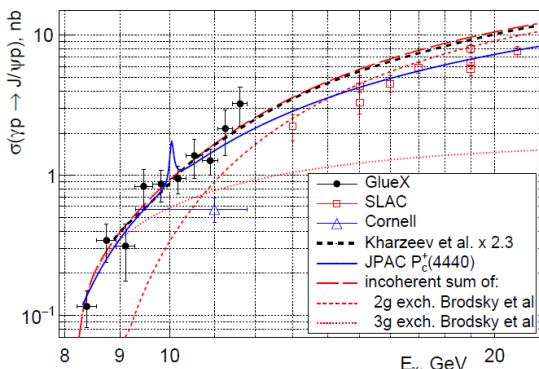
- Conclusions: Оба сценария проходят новые данные LHCb с трудом, но молекулярный — **хуже...**

# Эксперимент Gluex

- JLAB: коллаборация **Gluex**:



- Ничего не обнаружено!**



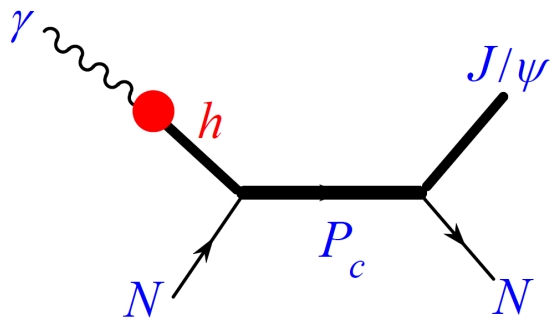
а) Пичок отвечает гипотезе, что

$$Br(P_c \rightarrow J/\psi + p) = 2\%$$

б) принято, что переход  $\gamma$  в  $J/\psi$  по **векторной доминантности**



# Эксперимент GlueX



- **VDM**: в качестве  $h$  можно взять любой адрон -  $J/\psi, \psi', \dots$ , даже  $\rho$ -мезон. Фотон – **реальный**, поэтому далеко от массы  $J/\psi$ . Это - модель (Волошин, Кубаровский). Было бы **еpr**, можно было бы измерить **безмодельно**.

# Эксперимент Gluex

- Эксперимент GLUEX, скорее всего, прямо противоречит данным LHCb

$$Br[P_c \rightarrow J/\psi + p] = R \left( \frac{Br[\Lambda_b \rightarrow P_c K^-]}{Br[\Lambda_b \rightarrow J/\psi p K^-]} \right)^{-1}$$

- Измерения  $R$  от LHCb для  $P_c(4440)$ :  $R = 1.11 \pm 0.33\%$ . Чтобы согласовать с GLUEX: BCE распады  $\Lambda_b \rightarrow J/\psi p K^-$  идут через **пентакварк!** (нам надо 0.04!). Это тем более странно, что ширина пентакварка маленькая по GLUEX.